

Большой интерес представляет анализ моносинаптических первичных ТПСП, которые в наших опытах отводились от нейронов остро- и хронически изолированных полосок обеих зон коры (см. рис. 1). В большинстве случаев они возникали в результате прямой активации тормозящих нейронов при ВКР. Анализ распределения моносинаптических ТПСП в хронически изолированных полосках свидетельствует о том, что в слуховой коре аксоны тормозящих нейронов могут распространяться на расстояние до 2 мм, хотя больше всего таких ответов регистрировалось в участке коры радиусом 0,5 мм. Результаты наших исследований также показали, что в слуховую кору поступают волокна тормозящих нейронов, расположенных в других зонах мозга, которые образуют синаптические окончания на нейронах, занимающих участок коры радиусом 0,5 мм. На наличие таких волокон в составе геникуло-кортикального тракта указывают отдельные работы [7].

Различие числа моносинаптических ТПСП в остро и хронически изолированных полосках ассоциативной коры указывает на определяющую роль в их генерации аfferентных волокон. Полное отсутствие моносинаптических ТПСП на расстоянии 3 мм и значительное уменьшение их числа на других исследованных расстояниях в трехнедельной полоске, свидетельствует, по нашему мнению, о том, что в составе аfferентных путей, поступающих в ассоциативную кору, также содержатся тормозящие волокна, которые распространяются на большее расстояние, чем подобные волокна в слуховой коре, достигая 3 мм.

Особый интерес представляет анализ пространственно-временного распределения дисинаптических ТПСП, которых было много в обоих типах полосок слуховой и ассоциативной коры (см. рис. 1 и 2).

В хронически изолированной полоске слуховой коры на расстоянии 0,5 мм от места ВКР относительное число дисинаптических ТПСП практически не изменилось по сравнению с остро изолированной полоской (см. табл. 1), по-видимому, потому, что и в остро изолированной полоске число дисинаптических ТПСП, возникавших в результате начальной активации волокон было незначительным. Это можно объяснить особым пространственным распределением терминалей аfferентных волокон, которое характеризуется тем, что наибольшее число коллатералей они образуют на расстоянии до 0,5 мм от места входа в кору, а тормозящие нейроны, расположенные в зоне досягаемости для коллатералей аfferентных волокон, образуют свои окончания за пределами участка коры радиусом 0,5 мм.

Уменьшение числа дисинаптических ТПСП на расстоянии 1,0 и 2,0 мм от места ВКР обусловлено, вероятнее всего, выпадением тех реакций, которые вызывались тормозящими нейронами, активированными импульсами, поступавшими по аfferентным волокнам.

В остро изолированной полоске коры мозга активация тормозящих нейронов импульсами, поступающими по афферентным волокнам, является эффективным механизмом включения тормозящей системы на значительном участке корковой ткани — радиусом до 3 мм. На это указывает тот факт, что в хронически изолированной полоске ассоциативной коры число первичных, дисинаптических, ТПСП существенно уменьшилось на всех исследованных расстояниях. Из приведенных данных также следует, что возбуждающие интернейроны обеспечивают наиболее эффективную активацию тормозящих нейронов на участке ассоциативной коры радиусом до 1 мм.

Наличие среди тормозных ответов нейронально изолированной полоски полисинаптических ТПСП свидетельствует о том, что некоторое число тормозящих нейронов активируется после того, как возбуждение пройдет путь, включающий несколько возбуждающих нейронов. Если исходить из расчета, что от одного нейрона к другому возбуждение распространяется $1,2 - 1,5$ мс, то нейрон, реагировавший на ВКР со скрытым периодом 12 мс, будет последним в цепи, состоящей из 9—10 нейронов. Однако таких длинных локальных, замкнутых в пределах данной зоны коры, нервных цепей формируется в коре немного. Большая

часть локальных нервных
но предположить, что эти
тивную функцию.

Таким образом, наши тающей как нелинейный фильтр, между возбуждениями, развивающиеся в синаптическую активацию участках радиусом 2—3 мых механизмов в течении возможности активного синаса удаленными друг от друга по горизонтали. Важно жит тормозящим нейрона дающими процессами, распространение возбуждения корковых нейронных цепейование локальных нейров иметь важное значение в процессов и адаптивной функции и торможения обуславливших интернейронов, а также только на входе. В нейронах возбужденных тормозящих и движение возбуждений и к возбуждающим, и которые чивают распространение ментов коры мозга. Вызываются силой возбуждения в реакцию в данном очаге сов, которые образуют эти факторы определяют вития возбуждения в коре пившей информации.

Конечно, в таком виду буждающими нейронами лированной полоске коф существенно усложнены поступающими из подко по У-образным волокна корковыми зонами.

FUNCTIONAL NEURONAL II

V. D. Taranenko

Extra- and intracellularly recorded in different volumes of acute cortical areas were analyzed. non-linear cooperative spatio-temporal inhibitory and excitatory processes. Such a spatio-temporal presence of different excitatory sites of input to the cortex. Action processing by formation to the other cortical areas by recurrent connections.

I. I. Mechnikov University, Od

1. Батуев А. С. Высшие и
 2. Батуев А. С., Демьянен
модули // Успехи физиол.

Физиол. журн., 1987, т. 33, №

часть локальных нервных цепей короче и включает 4—6 нейронов. Можно предположить, что эти цепи обеспечивают внутризональную интегративную функцию.

Таким образом, наши данные показывают, что в коре мозга, работающей как нелинейный кооперативный пространственно-временной фильтр, между возбуждением и торможением складываются взаимоотношения, развивающиеся во времени. Одиночное раздражение вызывает синаптическую активацию нейронов одновременно на значительных участках радиусом 2—3 мм и процесс развивается за счет внутрикорковых механизмов в течение 20—27 мс. Это указывает на широкие возможности активного синаптического взаимодействия между значительно удаленными друг от друга нервными клетками как по вертикали, так и по горизонтали. Важнейшая роль в этом взаимодействии принадлежит тормозящим нейронам. Возникшая в коре одновременно с возбуждающими процессами, реакции торможения не только ограничивают распространение возбуждения, но и, развиваясь в последующих звеньях корковых нейронных цепей в течение 10—12 мс, обеспечивают формирование локальных нейронных цепей различного размера, что может иметь важное значение в осуществлении внутрикорковых интегративных процессов и адаптивной функции. Такая динамика процессов возбуждения и торможения обусловлена наличием разнообразных возбуждающих интернейронов, а также внутрикорковых тормозящих нейронов не только на входе. В нейронах коры, до которых не доходят аксоны возбужденных тормозящих нейронов, торможение развивается в результате движения возбуждения. При этом импульсы возбуждения приходят к возбуждающим, и к тормозящим нейронам и таким образом обеспечивают распространение обоих процессов на новые группы нервных элементов коры мозга. Выраженность тормозящих влияний будет определяться силой возбуждения, числом тормозящих нейронов, вовлеченных в реакцию в данном очаге, разветвленностью их аксонов и числом синапсов, которые образуют тормозящие нейроны на телах соседних клеток. Эти факторы определяют особенности пространственно-временного развития возбуждения в коре мозга и создают условия для анализа поступившей информации.

Конечно, в таком виде взаимоотношения между тормозящими и возбуждающими нейронами и влияниями могут проявляться только в изолированной полоске коры. В интактном мозге эти взаимоотношения существенно усложнены возбуждающими и тормозящими влияниями, поступающими из подкорки по транскаллозальным волокнам, а также по У-образным волокнам, обеспечивающим связи между различными корковыми зонами.

FUNCTIONAL NEURONAL INTERACTION IN THE CEREBRAL CORTEX

V. D. Taranenko

Extra- and intracellularly recorded neuronal responses to intracortical stimulation in different volumes of acute and chronically isolated slabs of auditory and associative cortical areas were analyzed. It was shown that in the cerebral cortex operating as the nonlinear cooperative spatio-temporal filter the complex relations were formed between inhibitory and excitatory processes which simultaneously developed in different cortical volumes. Such a spatio-temporal dynamics of neuronal responses is determined by the presence of different excitatory neurons in the cortex and of inhibitory neurons at the site of input to the cortex. As a result conditions are provided for intracortical information processing by formation of local neuronal circuits and for information transmission to the other cortical areas by means of open neuronal circuits.

I. I. Mechnikov University, Odessa

1. Батуев А. С. Высшие интегративные системы мозга.—Л.: Наука, 1981.—255 с.
2. Батуев А. С., Демьяненко Г. П. Степени свободы нейрона и корковые нейронные модули // Успехи физiol. наук.—1983.—14, № 1.—С. 27—44.

3. Казаков В. Н. Функциональная организация и связи орбитофронтальной коры (электрофизиологическое исследование): Автореф. дис... д-ра мед. наук.— Винница, 1970.— 32 с.
 4. Коган А. Б. О некоторых механизмах центрального торможения // Физиол. журн. СССР.— 1982.— 68, № 2.— С. 256—262.
 5. Кузнецов С. А., Павлюк П. П., Мохова С. Н. Нейронные системные процессы высших моторных центров.— Кишинев : Штиинца, 1980.— 143 с.
 6. Ливанов М. Н. Торможение в нейронных системах коры головного мозга.— М. : Наука, 1965.— С. 64—71.
 7. Серков Ф. Н. Электрофизиология высших отделов слуховой системы.— Киев : Наук. думка, 1977.— 215 с.
 8. Серков Ф. Н. Характеристика, нейронные механизмы и функциональное значение коркового торможения // Физиол. журн.— 1983.— 29, № 2.— С. 207—215.
 9. Серков Ф. Н. Нейронные и синаптические механизмы коркового торможения // Нейрофизиология.— 1984.— 16, № 3.— С. 394—403.
 10. Сторожук В. М. Функциональная организация нейронов соматической коры.— К. : Наук. думка, 1974.— 274 с.
 11. Сторожук В. М., Гурова Т. В. Ответы нейронов соматосенсорной коры на прямое раздражение // Физиол. журн. СССР.— 1966.— 52, № 11.— С. 1289—1296.
 12. Сухов А. Г. О нейронной организации фокального эпилептиформного разряда // Физиол. журн. СССР.— 1967.— 53, № 5.— С. 520—525.
 13. Сухов А. Г. О тормозных реакциях нейронных ансамблей // Там же.— 1969.— 55, № 1.— С. 8—15.
 14. Тараненко В. Д., Рабцевич М. А. Реакции нейронов изолированной полоски слуховой коры мозга кошки на внутрикорковое раздражение // Нейрофизиология.— 1982.— 14, № 1.— С. 85—93.
 15. Тараненко В. Д., Рабцевич М. А. Реакции нейронов хронически изолированной полоски слуховой коры на внутрикорковое раздражение // Там же.— № 5.— С. 462.
 16. Тараненко В. Д., Кашайова К. Реакции нейронов изолированной полоски ассоциативной коры (поле 5) на внутрикорковое раздражение // Физиол. журн.— 1983.— 29, № 2.— С. 168—175.
 17. Тараненко В. Д., Кашайова К. Реакции нейронов хронически изолированной полоски ассоциативной коры (поле 5) мозга кошки на внутрикорковое раздражение // Там же.— 1984.— 30, № 5.— С. 610—617.
 18. Шуранова Ж. П. Исследование элементарных рабочих механизмов в коре большого мозга млекопитающих.— М. : Наука, 1977.— 200 с.
 19. Элькина Г. А., Холодов Ю. А. Характеристика фоновой и вызванной импульсной активности нейронов в нейронально изолированной полоске коры больших полушарий мозга кролика // Исследование организации нейронной деятельности в коре больших полушарий головного мозга.— М. : Наука, 1971.— С. 14—37.
 20. Creutzfeldt O. D. Generality of the functional structure of the neocortex // Naturwissenschaften.— 1977.— 64, N 11.— P. 507—517.
 21. Eccles J. S. The neurophysiological basis of mind // The principles of neurophysiology.— Oxford: Clarendon press, 1953.— P. 314.
 22. Li Ch-L., Chou Sh. N. Inhibitory interneurons in the neocortex // Inhibitions of the nervous system and GABA.— Oxford etc.: Pergamon press, 1960.— P. 34—39.
 23. (Mountcastle V. B.) Маунткасл В. Организующий принцип мозга // Разумный мозг.— М. : Мир, 1981.— С. 15—67.
 24. Rosenthal J., Waller H. J., Amassian V. E. An analyses of the activation of motor cortical neurons by surface stimulation // J. Neurophysiol.— 1967.— 30, N 6.— P. 844—858.

Одес. ун-т им. И. И. Мечникова
МВССО УССР

Поступила 25.04.86

УДК 612.67.08:612.015.6:577.164.11

Возрастные особенности обмена парентерально введенных меченых тиамина, пантотената, никотината и липоата в пищеварительной системе крыс

Л. Н. Степанова, А. Я. Розанов

За последние 10 лет появились единичные работы, подтверждающие перспективность исследований транспортно-метаболических превращений витаминов в пищеварительном тракте в период онтогенеза. Один из механизмов старения у людей — нарушение всасывания питательных веществ [13] (в том числе и витаминов), которое значительно

66

Физиол. журн., 1987, т. 33, № 1

обусловлено замедлением транспортной системы [1, 12]. Возрастные биохимические пищеварительной системы, обнаружена взаимосвязь физиологии всасывания тиамина [8, 10, 11], цинка в тонкой кишке известно, что некоторые гепатиты витаминов [2, 6]. В частности является наиболее эффективным введении он в осязательном восприятии пищеварительного тракта. Можно предположить, что действие этого аналога пиридоксина в частности всасывания и других веществ.

В настоящей работе и пищеварительный тракт и с но в физиологических дозах та и ^{35}S -липоата.

Методика

Исследования проводили на белой группе: 2-3-недельные (отъемыши 50, 100—150, 450—500 г) соответствия. Дозы внутримышечно введенного липоата 24, никотина 60, пантотената проводили через 15, 30, 60 мин, 2 с собирали кровь в мерную пробирку, встряхивали для предотвращения коагуляции, пережимая предварительно кишку, три отдела тонкой кишки содержимым, затем через просвет содержимое, после чего снова взмешивали с NaOH. При гомогенизации все ткани также печень и почки. Гомогенизатор на 90 °C и подсчитывали радиоактивного счетчика марки «Протокол-1-М-1» рабочих растворов меченых препаратов, учитывая β -излучение меченых опытов обрабатывали статистически

Результаты

Достоверно большое количе-
ство) всех исследованных
нов удерживается тканью в
сравнению с молодыми (3-н
3-недельными).

Аналогичная возрастная метка наблюдалась и в тк выведение инъецируемых ис ных. Необходимо отметить, после инъекции указанных симости от интенсивности системы.

У старых животных знания продуктов обмена ти^а и липоата тканями пищеварения через 1 ч после инъекции ти-

Физиол. журн. 1987, т. 33, № 1

коры
ини-
журн.
выс-
Нау-
Наук.
чение
Ней-
-К. :
ямое
да //
— 55,
лухо-
ия.—

й по-
462.
оциа-
83.—
олос-
тие //
шого
ьной
туша-
коре
rwis-
siolo-
f the
озг.—
notor
6.—

04.86

обусловлено замедлением скорости кровотока через ткани пищеварительной системы [1, 12]. В основе такого нарушения могут лежать возрастные биохимические изменения энергетического обмена в тканях пищеварительной системы. Об этом свидетельствуют работы, в которых обнаружена взаимосвязь фосфорилирования, активности фосфатаз и всасывания тиамина [8, 10, 11, 17, 18], а также деградации и абсорбции в тонкой кишке никотинамиддинуклеотида [9]. Кроме того известно, что некоторые геропротекторы — витамины или производные витаминов [2, 6]. В частности, ^{14}C -эпигид-(метилэтил-3-оксиридин) является наиболее эффективным геропротектором [6]. При парентеральном введении он в основной массе экскретируется в просвет кишечника и удерживается там длительное время в течение рециклирования. Можно предположить, что один из механизмов геропротекторного действия этого аналога пиридоксина — изменение функции тонкой кишки, в частности всасывания и усвоения ее слизистой оболочкой питательных веществ.

В настоящей работе изучены возрастные особенности секреции в пищеварительный тракт и обратное всасывание вводимых парентерально в физиологических дозах ^{14}C -тиамина, ^{14}C -пантотената, ^{14}C -никотината и ^{35}S -липоата.

Методика

Исследования проводили на белых крысах-самцах линии Вистар трех возрастных групп: 2—3-недельные (отъемыши), 3-месячные и 24—26-месячные средней массой 40—50, 100—150, 450—500 г соответственно, содержащихся на стандартном рационе вивария. Дозы внутримышечно введенных меченых соединений составляли для тиамина 0,15, липоата 24, никотина 60, пантотената 100 мкмоль/кг. Определение метки в тканях проводили через 15, 30, 60 мин, 2, 4, 24 ч после инъекции. Животных декапитировали, собирали кровь в мерную пробирку, содержащую 5 мл 0,01 моль/л NaOH, и быстро встряхивали для предотвращения свертывания. Выделяли весь желудочно-кишечный тракт, пережимая предварительно зажимами его отделы (желудок, двенадцатиперстную кишку, три отдела тонкой кишки, толстую кишку), взвешивали по отделам вместе с содержимым, затем через просвет промывали трижды теплой водой из шприца, удаляя содержимое, после чего снова взвешивали и готовили гомогенаты, используя 0,01 моль/л NaOH. При гомогенизации все тканевые гомогенаты разводили в 20 раз. Исследовали также печень и почки. Гомогенаты (по 0,5 мл) наносили на мишени, высушивали при 90°C и подсчитывали радиоактивность с точностью до $\pm 5\%$ с помощью газопроточного счетчика марки «Протока-1-М-134». К каждой серии опытов готовили стандарты из рабочих растворов меченых препаратов и аликвот гомогенатов тканей интактных животных, учитывая β -излучение меченых соединений исследуемыми образцами. Результаты опытов обрабатывали статистически по общепринятым методам.

Результаты

Достоверно большое количество (по результатам подсчета радиоактивности) всех исследованных меченых функционально-связанных витаминов удерживается тканью печени старых (24-месячных) животных по сравнению с молодыми (3-месячными) и особенно с отъемышами (2—3-недельными).

Аналогичная возрастная зависимость накопления радиоактивной метки наблюдалась и в ткани почек, что указывает на замедленное выведение инъецируемых исследуемых витаминов из организма животных. Необходимо отметить, что количество меченых продуктов в крови после инъекции указанных выше витаминов находится в прямой зависимости от интенсивности удерживания их тканями пищеварительной системы.

У старых животных значительно увеличена интенсивность удерживания продуктов обмена тиамина, пантотената и меньше — никотината и липоата тканями пищеварительной системы. В печени старых крыс через 1 ч после инъекции тиамина удерживается 38 % метки введенной

дозы, в оболочках тонкой кишки через 2 ч после инъекции 5—7 % по сравнению с 3-месячными (10 и 2,5 % соответственно). У неполовозрелых крысят-отъемышей значения метки после инъекции тиамина в тканях тонкой кишки и ее содержимого самые низкие, что можно объяснить более быстрой печеночно-кишечной рециркуляцией и интенсивным всасыванием витамина. Такая же закономерность выявлена после

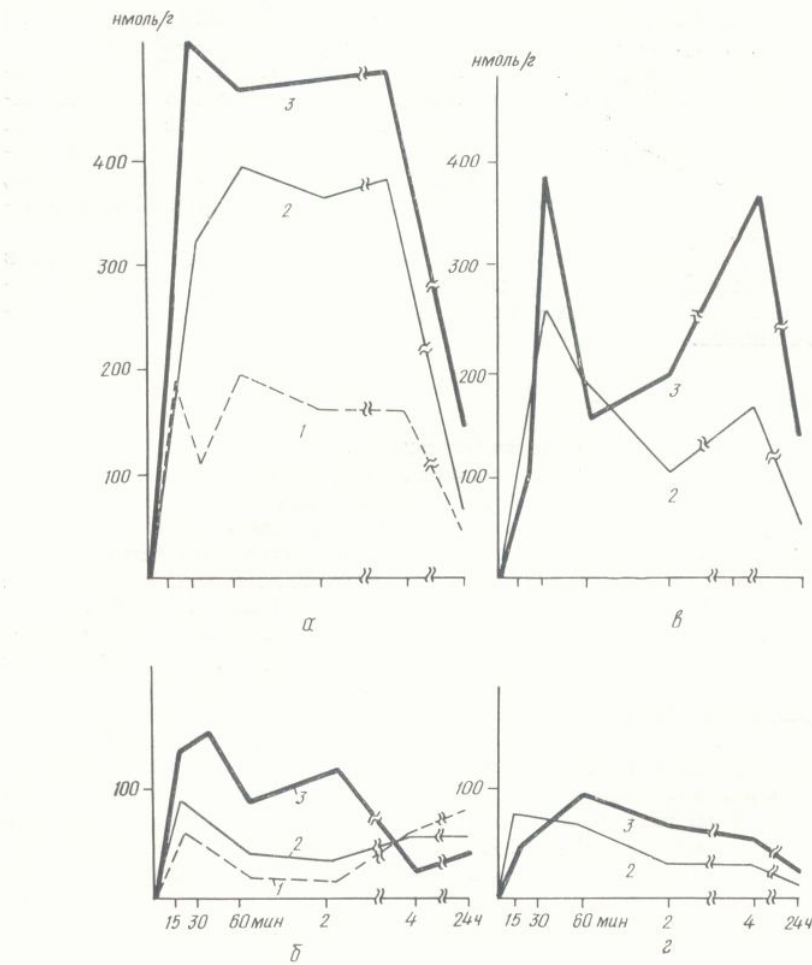


Рис. 1. Динамика поступления меченых метаболитов в печени крыс-отъемышей (1), молодых (2) и старых (3) крыс после инъекции меченых витаминов:

а — ^{14}C -тиамина; б — ^{14}C -пантотената; в — ^{35}S -липоата.

инъекции пантотената. У старых животных в печени удерживается в 2—3 раза больше метаболитов пантотената, чем у молодых, однако в поздние сроки после инъекции (4—24 ч) в печени молодых животных, и особенно отъемышей, насчитывалось достоверно больше радиоактивной метки введенного пантотената, чем у старых крыс. После инъекции никотината и липоата отмечено также достоверное увеличение депонирования их метаболитов в печени.

Наибольший интерес представляют результаты исследований динамики накопления тканями и секреции ими в просвет желудочно-кишечного тракта меченых исследуемых витаминов у разновозрастных крыс. В этих исследованиях, как и в предыдущих [3, 4], для тиамина и пантотената подтвердилось явление замедленной секреции метки в желудочное содержимое старых животных по сравнению с молодыми и

отъемышами. Для тиамина жена в 15 раз после инъекции желудок старых крыс панто и в 6—9 раз через 2 ч посл и отъемышами. После инъекции не обнаружено.

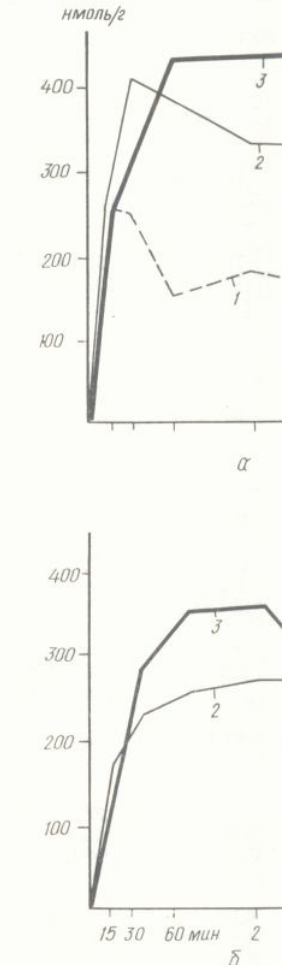


Рис. 2. Динамика накопления тиамина (1), молодые (2) и старые (3) крысы.

а — ^{14}C -тиамина; б — ^{14}C -никотината.

В содержимом тонкой кишки с молодыми доля меченых витаминов достоверно ниже, чем у старых, на 0,29 и 0,85 %; для никотината — на 2,7 % введенной дозы по сравнению с молодыми. Таким образом, — следствие снижения креции метки клетками слюны — следствие снижения секреции.

Возрастание изменения тканевой системы выражены метаболизируемых биомембран отмечены достоверные и су-

% по
озре-
на в
бъяс-
вным
иосле
отъемышами. Для тиамина секреция в желудок старых крыс понижена в 15 раз после инъекции его физиологической дозы. Секреция в желудок старых крыс пантотената снижалась в 3—4 раза через 30 мин и в 6—9 раз через 2 ч после его инъекции по сравнению с молодыми и отъемышами. После инъекции никотината и липоата таких различий не обнаружено.

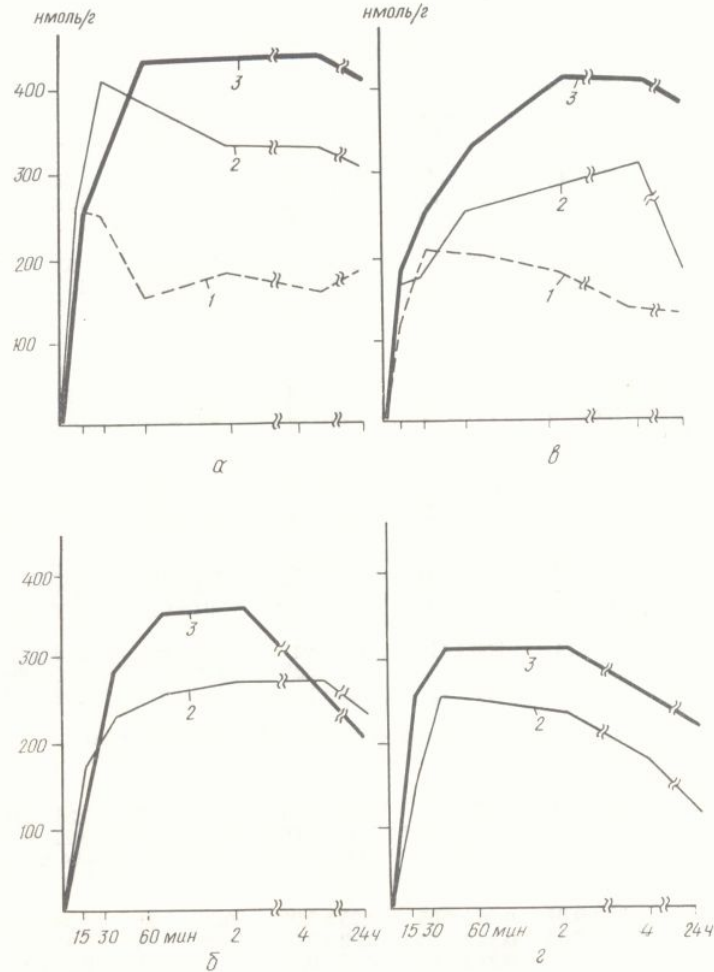


Рис. 2. Динамика накопления меченых метаболитов почками крыс-отъемышей (1), молодых (2) и старых (3) крыс после инъекции меченых витаминов:
а — ^{14}C -тиамина; б — ^{14}C -пантотената; в — ^{14}C -никотината; г — ^{35}S -липоата.

тся в ако в ятных, актив- екции япони- дина- ишеч- крыс. и пан- в же- юми и

В содержимом тонкой кишки у старых животных по сравнению с молодыми доля меченых продуктов после инъекции всех исследуемых витаминов достоверно ниже (для тиамина 0,96 и 1,78 %; для пантотената 0,29 и 0,85 %; для никотината 0,30 и 0,89 %; для липоата 1,3 и 2,7 % введенной дозы соответственно через 2 ч после инъекции) по сравнению с молодыми. Такое снижение секреции витаминов, по-видимому, — следствие снижения в период старения интенсивности секреции метками слизистой оболочки кишечника, но в большей мере — следствие снижения кишечно-печеночной рециркуляции.

Возрастание изменения обмена изучаемых витаминов в пищеварительной системе выражены по-разному. В частности, для интенсивно метаболизируемых биомембранными тиамина, пантотената и никотината отмечены достоверные и существенные изменения. Для липоата изме-

Таблица 1. Распределение общих меченых метаболитов в некоторых органах, тканях и жидкостях разных отделов пищеварительной системы у крыс трех возрастов после внутримышечного введения ^{14}C -тиамина (доза 0,15 мкмоль/кг)

Исследуемый объект	Время, прошедшее с момента введения радиоактивности в организм					
	15 мин	30 мин	60 мин	2 ч	4 ч	24 ч
Абсолютная радиоактивность						
Кровь						
I	60±12	100±13	144±16	45±8	3±0,5	19±4
II	120±10*	137±12	42±9*	47±6	30±5*	0
III	71±9**	54±8**	57±8	66±10	56±7	0
Печень						
I	1033±49	498±30	951±68	707±62	742±70	200±18
II	1143±51	1649±48*	1730±73*	1975±73*	1849±90*	350±29
III	1285±72	2488±55**	2251±79*	2296±82**	2265±75**	600±38
Почки						
I	1040±81	999±75	595±46	702±49	621±25	703±45
II	1027±69	1749±84*	1611±71*	1537±85*	1327±71*	1329±60*
III	966±70	1159±65**	1622±67	1721±49	1658±65**	533±68**
Слизистая оболочка:						
желудка						
I	50±8	112±15	50±9	70±8	90±15	100±15
II	150±15	152±18	197±14	226±38	357±49	293±65
III	128±53	154±16	228±25	331±35	369±51	42±8
двенадцатиперстной кишки						
I	109±13	176±25	150±18	131±16	122±14	151±28
II	185±16	348±32*	473±62*	539±25*	281±42*	300±44*
III	246±32	294±20	400±32	320±45	300±39**	200±27**
тонкой кишки						
I	144±23	222±35	103±19	115±19	72±9	141±15
II	181±22	420±43*	401±55*	378±38*	458±65*	317±50*
III	216±20	274±26	658±68**	394±62	371±41	242±44
толстой кишки						
I	180±14	380±41	170±24	160±15	203±18	112±8
II	137±20	213±32*	297±32*	156±21	420±29*	262±30*
III	187±25	177±27	305±30	236±40	192±31**	118±12**

Относительная радиоактивность, % введенной дозы

Содержимое:	Относи-						
	желудка	I	II	III	желудка	I	II
желудка							
I	0,2±0,05	0,35±0,06	0,21±0,01	0,35±0,03	0,35±0,06	0,1±0,03	
II	0,15±0,02	0,15±0,02*	0,40±0,06*	0,15±0,05*	0,23±0,04*	0,40±0,05**	
III	0	0	0,02±0,005**	0,03±0,006**	0,08±0,001**	0	
двенадцатиперстной кишки							
I	0,35±0,04	0,36±0,05	0,25±0,03	0,16±0,02	0,28±0,03	0,28±0,03	
II	0,13±0,03	0,33±0,03	0,32±0,05	0,20±0,05	0,30±0,05	0,12±0,02*	
III	0,13±0,03	0,21±0,05	0,30±0,05	0,20±0,04	0,18±0,03	0,04±0,005*	
тонкой кишки							
I	0,31±0,04	0,26±0,05	0,25±0,03	0,26±0,04	0,28±0,04	0,19±0,02	
II	0,15±0,04	0,22±0,05	0,3±0,04	0,59±0,04*	0,41±0,03*	0,19±0,03	
III	0,06±0,01	0,16±0,03	0,33±0,05	0,32±0,04	0,27±0,05	0,09±0,02**	
толстой кишки							
I	0,40±0,06	0,30±0,08	0,26±0,03	0,24±0,02	0,97±0,02	0,92±0,15	
II	0,10±0,02	0,10±0,03	0,18±0,04	0,28±0,06	0,76±0,05	2,10±0,15	
III	0	0	0,10±0,03	0,35±0,04	0,88±0,03	1,15±0,2	

Примечание: I, II, III — отъемши, молодые, старые животные соответственно. * Достоверность различий между I и II группами животных; ** — между II и III группами; $M\pm m$, n составляет 7—10.

Таблица 2. Распределение общих меченых метаболитов в некоторых органах, тканях и жидкостях разных отделов пищеварительной системы у крыс трех возрастов после внутримышечного введения ^{14}C -DL-пантотената (доза 100 м

Исследуемый объект	Время, прошедшее с момента введения радиоактивности в организм					
	15 мин					
Кровь						
I						
II						
III						
Печень						
I						
II						
III						
Почки						
I						
II						
III						
Слизистая оболочка:						
желудка						
I						
II						
III						

Содержимое:	Относи-						
	желудка	I	II	III	желудка	I	II
желудка							
I	0,2±0,03						
II	0,14±0,02						
III	0,05±0,01*						
двенадцатиперстной кишки							
I							
II							
III							
тонкой кишки							
I							
II							
III							
толстой кишки							
I							
II							
III							

Примечание. Обозначения те

Таблица 2. Распределение общих меченных метаболитов в некоторых органах, тканях и жидкостях разных отделов пищеварительной системы у крыс трех возрастов после внутримышечного введения ^{14}C -DL-пантотената (доза 100 мкмоль/кг)

Исследуемый объект	Время, прошедшее с момента введения радиоактивности в организм					
	15 мин	30 мин	60 мин	2 ч	4 ч	24 ч
Абсолютная радиоактивность						
Кровь						
4	I II III	33±2,5 33±3,0 53±12,0	13±3,0 20±4,0 18±2,0	7±0,6 10±0,6* 21±4,0**	4±0,6 3±0,5 12±2,0**	2±0,3 6±0,8* 7±0,9
18	I II III	32±7,0 44±6,0 74±3,0**	23±2,0 37±4,0* 82±5,0**	10±1,5 19±3,0* 46±4,0**	5±0,5 12±2,0* 57±3,0**	1±0,02 1±0,03 7±1,2
29	I II III	32±7,0 44±6,0 74±3,0**	23±2,0 37±4,0* 82±5,0**	10±1,5 19±3,0* 46±4,0**	5±0,5 12±2,0* 57±3,0**	1±0,02 1±0,03 7±1,2
38	I II III	32±7,0 44±6,0 74±3,0**	23±2,0 37±4,0* 82±5,0**	10±1,5 19±3,0* 46±4,0**	5±0,5 12±2,0* 57±3,0**	1±0,02 1±0,03 7±1,2
Печень						
45	I II III	990±95 606±56 810±68	809±68 650±64 1159±85*	621±34 999±67 1289±59*	560±40 1150±56* 1573±74*	490±35 1327±71* 1590±83**
60*	I II III	990±95 606±56 810±68	809±68 650±64 1159±85*	621±34 999±67 1289±59*	560±40 1150±56* 1573±74*	490±35 1327±71* 1590±83**
68**	I II III	990±95 606±56 810±68	809±68 650±64 1159±85*	621±34 999±67 1289±59*	560±40 1150±56* 1573±74*	490±35 1327±71* 1590±83**
Слизистая оболочки:						
желудка						
15	I II III	18±1,0 19±5,0 37±7,0	19±3,0 26±4,0 40±4,0**	13±3,0 25±3,0* 32±2,0	11±0,8 17±2,5 21±1,0	8±0,5 10±3,0 16±4,0
65	I II III	18±1,0 19±5,0 37±7,0	19±3,0 26±4,0 40±4,0**	13±3,0 25±3,0* 32±2,0	11±0,8 17±2,5 21±1,0	8±1,0 10±3,0 16±4,0
8	I II III	18±1,0 19±5,0 37±7,0	19±3,0 26±4,0 40±4,0**	13±3,0 25±3,0* 32±2,0	11±0,8 17±2,5 21±1,0	8±1,0 10±3,0 16±4,0
двенадцатиперстной кишки						
28	I II III	27±4,0 26±3,0 21±3,0	18±3,0 21±2,0 41±4,0	20±5,0 17±3,0 36±3,0	14±2,0 7±1,0* 27±5,0	10±5,0 6±2,0 16±4,0
44*	I II III	27±4,0 26±3,0 21±3,0	18±3,0 21±2,0 41±4,0	20±5,0 17±3,0 36±3,0	14±2,0 7±1,0* 27±5,0	10±5,0 6±2,0 16±4,0
27**	I II III	27±4,0 26±3,0 21±3,0	18±3,0 21±2,0 41±4,0	20±5,0 17±3,0 36±3,0	14±2,0 7±1,0* 27±5,0	10±5,0 6±2,0 16±4,0
тонкой кишки						
15	I II III	26±5,0 19±2,1 27±3,0	20±1,2 12±2,5 40±7,0	21±1,5 14±2,0 32±5,0	21±3,3 11±2,3 27±3,0	17±1,3 8±3,3 18±3,3
50*	I II III	26±5,0 19±2,1 27±3,0	20±1,2 12±2,5 40±7,0	21±1,5 14±2,0 32±5,0	21±3,3 11±2,3 27±3,0	17±1,3 8±3,3 18±3,3
14	I II III	26±5,0 19±2,1 27±3,0	20±1,2 12±2,5 40±7,0	21±1,5 14±2,0 32±5,0	21±3,3 11±2,3 27±3,0	17±1,3 8±3,3 18±3,3
толстой кишки						
10*	I II III	25±5,0 28±5,0 35±2,0	30±2,0 29±2,0 40±4,0	34±7,0 21±3,0 34±3,0	23±1,0 26±2,0 27±3,0	26±2,0 16±3,0 34±3,0**
2**	I II III	25±5,0 28±5,0 35±2,0	30±2,0 29±2,0 40±4,0	34±7,0 21±3,0 34±3,0	23±1,0 26±2,0 27±3,0	26±2,0 16±3,0 34±3,0**
Относительная радиоактивность, % введенной дозы						
Содержимое:						
желудка						
0,03	I II III	0,2±0,03 0,14±0,02 0,05±0,01**	0,25±0,03 0,25±0,02 0,06±0,02**	0,25±0,01 0,30±0,05 0,04±0,01**	0,90±0,03 0,50±0,04 0,07±0,001**	0,23±0,09 0,07±0,01* 0,06±0,005
0,05**	I II III	0,2±0,03 0,14±0,02 0,05±0,01**	0,25±0,03 0,25±0,02 0,06±0,02**	0,25±0,01 0,30±0,05 0,04±0,01**	0,90±0,03 0,50±0,04 0,07±0,001**	0,16±0,03 0,04±0,003* 0,01±0,003
двенадцатиперстной кишки						
0,03	I II III	0,5±0,04 0,13±0,01* 0,08±0,01**	0,30±0,05 0,13±0,02* 0,07±0,02	0,20±0,05 0,23±0,03 0,10±0,01**	0,17±0,02 0,12±0,01 0,02±0,005**	0,16±0,03 0,04±0,005* 0,02±0,005**
0,02*	I II III	0,5±0,04 0,13±0,01* 0,08±0,01**	0,30±0,05 0,13±0,02* 0,07±0,02	0,20±0,05 0,23±0,03 0,10±0,01**	0,17±0,02 0,12±0,01 0,02±0,005**	0,07±0,01 0,05±0,005 0,01±0,003**
0,005**	I II III	0,5±0,04 0,13±0,01* 0,08±0,01**	0,30±0,05 0,13±0,02* 0,07±0,02	0,20±0,05 0,23±0,03 0,10±0,01**	0,17±0,02 0,12±0,01 0,02±0,005**	0,07±0,01 0,05±0,005 0,01±0,003**
тонкой кишки						
0,02	I II III	0,23±0,05 0,18±0,008 0,08±0,008**	0,40±0,02 0,09±0,015* 0,06±0,006	0,46±0,04 0,21±0,01* 0,10±0,008**	0,64±0,08 0,22±0,02* 0,20±0,01	0,46±0,03 0,12±0,02* 0,15±0,06
0,03	I II III	0,23±0,05 0,18±0,008 0,08±0,008**	0,40±0,02 0,09±0,015* 0,06±0,006	0,46±0,04 0,21±0,01* 0,10±0,008**	0,64±0,08 0,22±0,02* 0,20±0,01	0,15±0,02 0,08±0,01* 0,03±0,01
0,02**	I II III	0,23±0,05 0,18±0,008 0,08±0,008**	0,40±0,02 0,09±0,015* 0,06±0,006	0,46±0,04 0,21±0,01* 0,10±0,008**	0,64±0,08 0,22±0,02* 0,20±0,01	0,15±0,02 0,08±0,01* 0,03±0,01
толстой кишки						
0,15	I II III	0,11±0,01 0,15±0,03 0,14±0,03	0,40±0,015 0,35±0,03 0,10±0,03*	0,50±0,05 0,55±0,05 0,16±0,05**	0,50±0,02 0,60±0,04 0,30±0,04**	0,50±0,02 0,91±0,04* 0,80±0,04
0,15	I II III	0,11±0,01 0,15±0,03 0,14±0,03	0,40±0,015 0,35±0,03 0,10±0,03*	0,50±0,05 0,55±0,05 0,16±0,05**	0,50±0,02 0,60±0,04 0,30±0,04**	1,90±0,05 0,90±0,01* 0,10±0,01**
0,2	I II III	0,11±0,01 0,15±0,03 0,14±0,03	0,40±0,015 0,35±0,03 0,10±0,03*	0,50±0,05 0,55±0,05 0,16±0,05**	0,50±0,02 0,91±0,04* 0,80±0,04	1,90±0,05 0,90±0,01* 0,10±0,01**
Примечание. Обозначения те же, что и в табл. 1.						
—10.						

нения незначительны. Резкое снижение интенсивности секреции тиамина и пантотената в просвет желудочно-кишечного тракта и обратного всасывания в период старения может указывать на ослабление транспортно-метаболических превращений и замедленное обновление витаминов тканями пищеварительной системы (табл. 1, 2).

Учитывая, что секреция с желудочным соком введенных парентерально тиамина и пантотената резко снижается, но в целом удержи-

в сыворотке крови уменьшается по сравнению с 11–12 годами.

В заключение несекреторные витамины и их всасывание в период старения в период старения пищевых веществ.

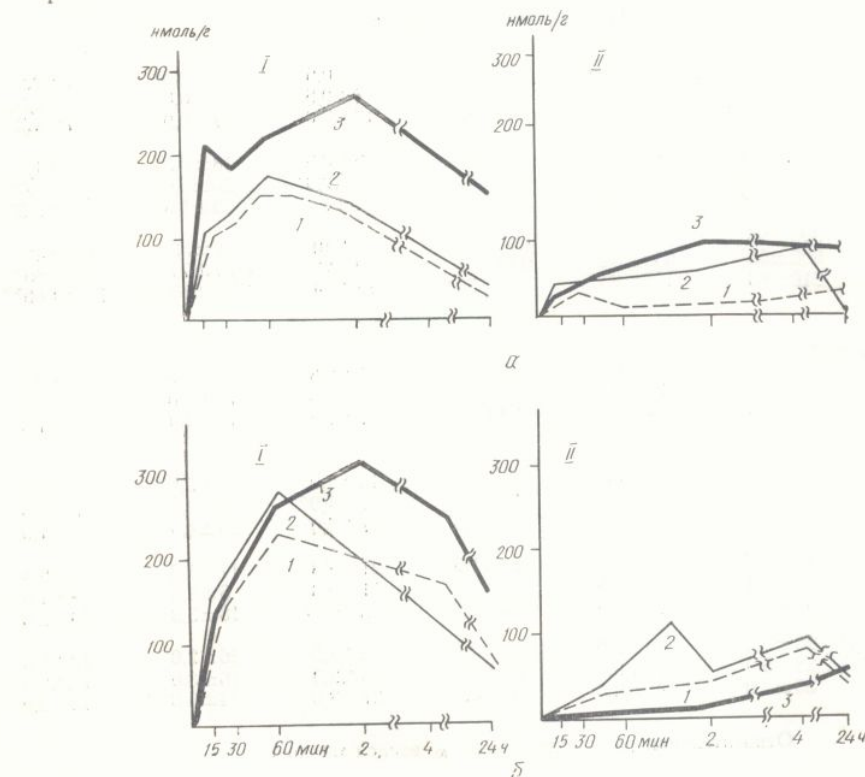


Рис. 3. Содержание общих меченых метаболитов в оболочках (I) и со-держимом (II) тонкой кишки (а) и желудка (б) после инъекции ^{14}C -ти-амина:

1 — крысам-отъемщикам; 2 — молодым и 3 — старым крысам.

вание их пищеварительной системой при этом увеличивается, можно предположить замедление их кишечно-печеночной рециркуляции и метаболических превращений до легко проникающих через биомембранны соединений [5, 16]. Такая картина изменений динамики обмена исследуемых витаминов может быть итогом многих факторов, из которых следует подчеркнуть замедленную секрецию меченых метаболитов с пищеварительными соками, замедленное обратное всасывание их в тонкой кишке, нарушение селективности активного транспорта витаминов и их метаболитов через биомембранны клеток эпителия с возрастанием удельного веса диффузационных процессов. В основе этих нарушений могут лежать известные механизмы замедления кровоснабжения тканей пищеварительной системы в период старения. Вследствие нарушения транспортно-метаболических превращений витаминов в пищеварительной системе при старении и патологических процессах может возникнуть развитие полигиповитаминозов. Даже нарушение только экзокринной функции поджелудочной железы сопровождается нарушением всасывания витамина B_{12} [15]. Нарушение всасывания тиамина — основная причина развития B_{12} -гиповитаминоза у детей младшего возраста [14]. Показано также, что количество пантотената

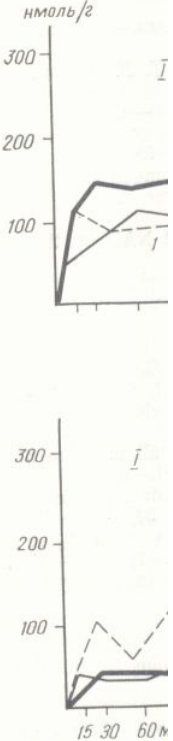


Рис. 4. Содержание общих меченых метаболитов в со-держимом (II) тонкой кишки (I)

1 — крысам-отъемщикам

и возрастными изменениями в кишечнике [16]. Эффекты частично замедленного потенциала в меньшей мере выражены в тонкой кишке

AGE PECULIARITIES OF THE EXCRETION OF THIAMINE, NICOTINATE AND LIPOIC ACID INTO LUMEN OF THE STOMACH IN THE

L. N. Stepanova, A. Ya.

Peculiarities of the excretion of thiamine, nicotinate and lipic acid into lumen of the stomach in the

I. I. Mechnikov University